

2 Modelo Matemático

Neste capítulo, apresentam-se as equações que descrevem o escoamento no espaço anular com rotação do cilindro interno: As equações de Conservação de Massa e Quantidade de Movimento e equações constitutivas para os fluidos não newtonianos, considerando as seguintes hipóteses: Escoamento incompressível, isotérmico e em regime permanente.

2.1 Equação da Conservação da Massa

A lei de conservação de massa estabelece que a taxa de variação da massa com relação ao tempo de um sistema é nula:

$$\frac{D\rho}{Dt} + \rho \nabla \cdot \underline{u} = 0 \quad (2.1)$$

Onde D/Dt é o operador derivada material, definido como:

$$\frac{D}{Dt} = \frac{\partial}{\partial t} + \underline{u} \cdot \nabla . \quad (2.2)$$

ρ é a massa específica e \underline{u} é o vetor velocidade. Considerando-se as hipóteses de regime permanente e fluido incompressível, a equação pode ser escrita como:

$$\nabla \cdot \underline{u} = 0 \quad (2.3)$$

Escrevendo a equação em coordenadas cilíndricas, tem-se:

$$\frac{1}{r} \frac{\partial}{\partial r} (rv) + \frac{1}{r} \frac{\partial w}{\partial \theta} + \frac{\partial u}{\partial z} = 0 \quad (2.4)$$

2.2 Equação da Quantidade de Movimento

A equação de conservação de quantidade de movimento estabelece que a taxa de variação da quantidade de movimento linear das partículas em um sistema é igual ao somatório das forças externas agindo sobre este sistema:

$$\rho \frac{D\mathbf{u}}{Dt} = \rho \mathbf{g} + \nabla \cdot \underline{\underline{T}} \quad (2.5)$$

Usando a definição de derivada material, a equação acima pode ser reescrita da seguinte forma:

$$\rho \frac{\partial \mathbf{u}}{\partial t} + \rho \mathbf{u} \cdot \nabla \mathbf{u} = \rho \mathbf{g} + \nabla \cdot \underline{\underline{T}} \quad (2.6)$$

Sendo $\underline{\underline{T}}$ o tensor das tensões que pode ser escrito da seguinte forma:

$$\underline{\underline{T}} = -p \underline{\underline{I}} + \underline{\underline{\tau}} \quad (2.7)$$

$\underline{\underline{I}}$ é a matriz identidade, p é a pressão e $\underline{\underline{\tau}}$ é o tensor das tensões viscosas.

Utilizando o modelo de Fluido Newtoniano Generalizado, o tensor das tensões viscosas é dado por:

$$\underline{\underline{\tau}} = \eta(\dot{\gamma}) \dot{\gamma} \quad (2.8)$$

sendo η a função viscosidade, $\dot{\gamma}$ é a tensão taxa de deformação e $\dot{\gamma}$ é a intensidade de taxa de deformação.

2.3 Equação Constitutiva para a Viscosidade

Os modelos reológicos mais utilizados para descrever o comportamento de fluidos de perfuração são: Modelo Newtoniano, Modelo de Bingham e o Modelo de Potência. Neste estudo utilizaremos o modelo de Potência, visto que apresenta bons resultados conforme comentado nos trabalhos anteriormente mencionados no capítulo 1.3. No modelo de potência, a função viscosidade é dada por:

$$\eta(\dot{\gamma}) = m \dot{\gamma}^{n-1}, \quad (2.9)$$

sendo m o índice de consistência ($\text{Pa}\cdot\text{s}^{-1}$) e n o índice de comportamento, que pode ter os seguintes valores:

- $n = 1$ para fluidos Newtonianos ($m = \mu$);
- $n < 1$ para fluidos pseudoplásticos (polímeros);
- $n > 1$ para fluidos dilatantes.

A Figura 2.1 apresenta esquematicamente o comportamento da tensão de cisalhamento em função da taxa de deformação para diferentes valores no índice de potência.

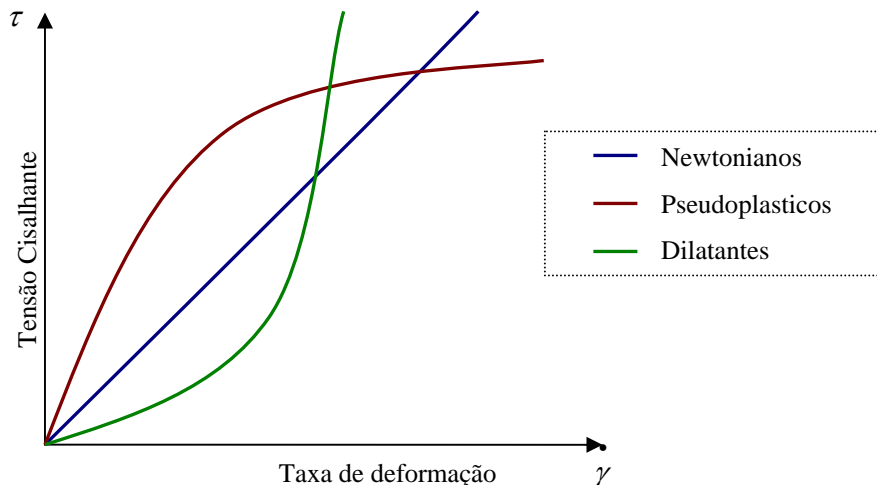


Figura 2-1– Gráfico representativo da Tensão Cisalhante com relação à Taxa de deformação

2.4 Geometria do Problema

O presente trabalho pretende estudar o escoamento em um espaço anular entre dois cilindros com excentricidade variável ao longo do eixo. Serão utilizadas coordenadas cilíndricas, onde (z) será a direção principal do escoamento, (r) será a direção radial e (θ) será a direção circunferencial do escoamento. O centro do sistema de coordenadas corresponde ao centro do cilindro interno com raio R_i constante, e a posição da parede externa do espaço anular é função das coordenadas z e θ , como mostrado na figura 2.2 abaixo:

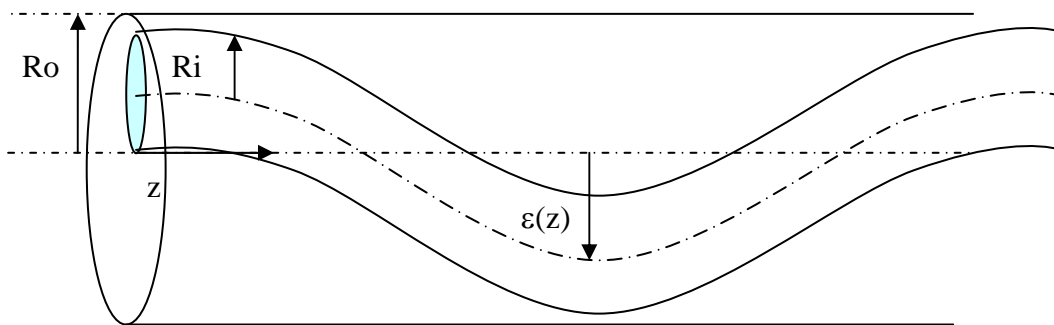


Figura 2-2 – Modelo Geométrico adotado, excentricidade senoidal

A excentricidade varia com a posição axial. A variação $\varepsilon(z)$ será considerada um dado de entrada do problema. A posição da parede do cilindro externo em relação ao sistema de coordenadas adotado R pode ser determinado em função da geometria do problema, como mostrado na Figura 2.3.

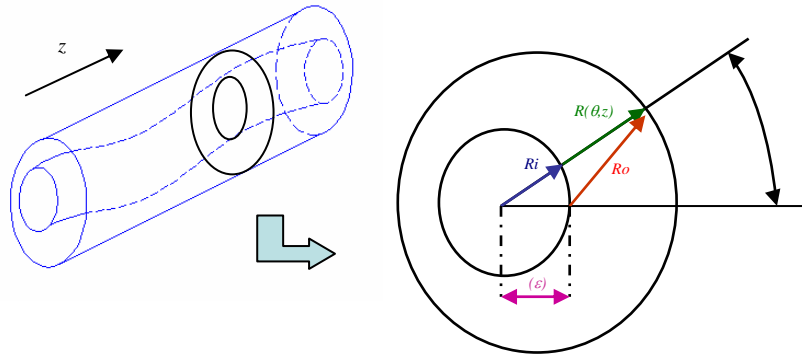


Figura 2-3 - Geometria do problema utilizada como ponto de partida.

A implementação computacional do modelo apresentado neste trabalho admite duas funções descrevendo a variação da excentricidade ao longo do eixo: linear ou senoidal.

O modelo com excentricidade linear tem como parâmetros a excentricidade de entrada e saída do poço. Adota-se a seguinte convenção de sinais: Quando o centro do cilindro externo está a direita do centro do cilindro interno, a excentricidade é positiva, caso contrário, é negativa.

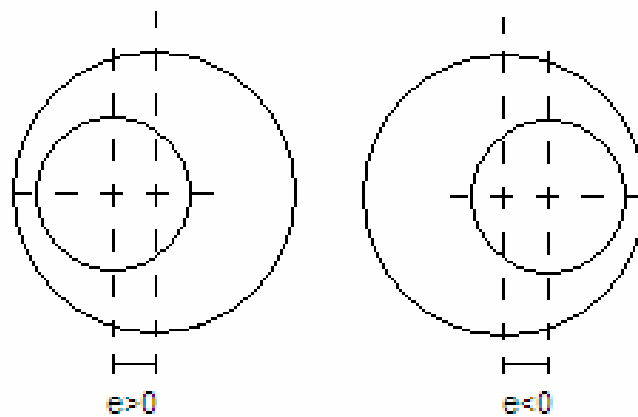


Figura 2-4 – Convenção de sinais para excentricidade linear

A variação senoidal da excentricidade é definida através de três parâmetros: a amplitude A_{mpl} , a excentricidade constante e_{cte} , e o comprimento de onda. A equação que descreve a variação da excentricidade é dada por:

$$\varepsilon_x = \varepsilon_1 = e_{xconst} + Amplx \cdot \sin\left(\frac{z \cdot 2\pi}{\lambda}\right) \quad (2.10)$$

Para descrição de uma configuração helicoidal do cilindro interno, deve-se considerar duas excentricidade em direções perpendiculares entre si, como mostrado na figura 2.5:

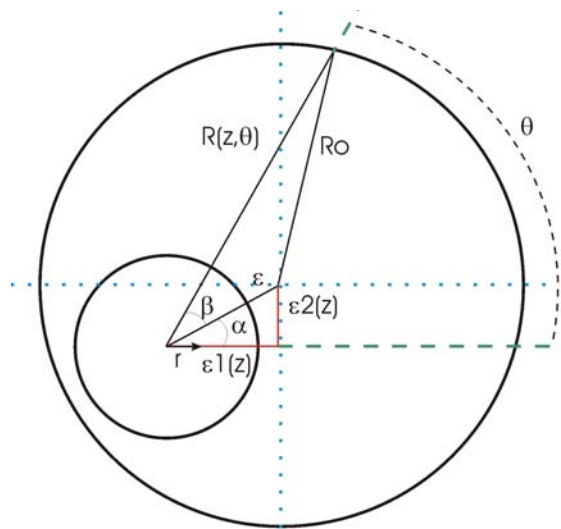


Figura 2-5– Geometria do sistema, duas excentricidades, R_0 – Raio do Cilindro Externo, $R(z,\theta)$ – Raio , ε_1 - Excentricidade na direção horizontal, ε_2 - Excentricidade na direção vertical, ε - Resultante das excentricidades

Sendo:

$$\varepsilon_y = \varepsilon_2 = e_{yconst} + Amply \cdot \sin\left(\frac{z \cdot 2\pi}{\lambda}\right) \quad (2.11)$$

Dessa forma a configuração helicoidal do cilindro interno pode ser descrita como:

$$\varepsilon = \sqrt{\varepsilon_x^2 + \varepsilon_y^2} \quad (2.12)$$

Com o ângulo β sendo

$$\beta = \theta - \alpha \quad (2.13)$$

$$\alpha = \arctan\left(\frac{\varepsilon_y}{\varepsilon_x}\right) \quad (2.14)$$

Assim, utilizando lei de cosenos, obtém-se a equação que descreve a posição da parede do cilindro externo $R(\beta, z)$ para configuração helicoidal:

$$R(\beta, z) = \varepsilon \cdot \cos \beta + \sqrt{R_0^2 - \varepsilon^2 \text{sen}^2 \beta} \quad (2.15)$$

2.5 Teoria da Lubrificação

O conceito básico da teoria da lubrificação é desprezar os termos da equação de Navier-Stokes que sejam bem menores que os demais. A estimativa da ordem de grandeza dos termos pode ser feita através de uma análise adimensional do problema. Em um poço de perfuração, pode-se fazer as seguintes hipóteses: o comprimento do poço é muito maior que o raio do poço e o escoamento é predominantemente na direção z (axial), desta forma pode-se afirmar que:

$$z, \theta \approx L \quad (2.16)$$

$$r \approx R_o - R_i \approx H \quad (H \text{ a espessura do anular}) \quad (2.17)$$

$$v \ll w; u \quad (2.18)$$

Estas hipóteses levam às seguintes conclusões:

$$\frac{\partial^2 u}{\partial r^2} \gg \frac{\partial^2 u}{\partial z^2}, \frac{\partial^2 u}{\partial \theta^2} \quad (2.19)$$

$$\frac{\partial^2 w}{\partial r^2} \gg \frac{\partial^2 w}{\partial z^2}, \frac{\partial^2 w}{\partial \theta^2} \quad (2.20)$$

$$v \approx 0 \quad (2.21)$$

Escrevendo a Equação da Conservação da Quantidade de Movimento em coordenadas cilíndricas:

$$\rho \left(v \frac{\partial v}{\partial r} + \frac{w}{r} \frac{\partial v}{\partial \theta} - \frac{w^2}{r} + u \frac{\partial v}{\partial z} \right) = - \left[\frac{1}{r} \frac{\partial}{\partial r} (r \tau_{rr}) + \frac{1}{r} \frac{\partial}{\partial \theta} \tau_{\theta r} + \frac{\partial}{\partial z} \tau_{zr} - \frac{\tau_{\theta\theta}}{r} \right] - \frac{\partial P}{\partial r} \quad (2.22)$$

$$\rho \left(v \frac{\partial w}{\partial r} + \frac{w}{r} \frac{\partial w}{\partial \theta} - \frac{v \cdot w}{r} + u \frac{\partial w}{\partial z} \right) = - \left[\frac{1}{r^2} \frac{\partial}{\partial r} (r^2 \tau_{r\theta}) + \frac{1}{r} \frac{\partial}{\partial \theta} \tau_{\theta\theta} + \frac{\partial}{\partial z} \tau_{z\theta} - \frac{\tau_{\theta r} - \tau_{r\theta}}{r} \right] - \frac{1}{r} \frac{\partial P}{\partial \theta} \quad (2.23)$$

$$\rho \left(v \frac{\partial u}{\partial r} + \frac{w}{r} \frac{\partial u}{\partial \theta} + u \frac{\partial u}{\partial z} \right) = - \left[\frac{1}{r} \frac{\partial}{\partial r} (r \tau_{rz}) + \frac{1}{r} \frac{\partial}{\partial \theta} \tau_{\theta z} + \frac{\partial}{\partial z} \tau_{zz} \right] - \frac{\partial P}{\partial z} \quad (2.24)$$

Utilizando a teoria da lubrificação, as equações de conservação podem ser simplificadas:

Para a coordenada axial:

$$\frac{\partial P}{\partial z} = \left[\frac{1}{r} \frac{\partial}{\partial r} (r \tau_{rz}) \right] \quad (2.25)$$

$$\frac{\partial P}{\partial z} = \frac{1}{r} \frac{\partial}{\partial r} \left(r \eta (\dot{\gamma}) \frac{du}{dr} \right) \quad (2.26)$$

Para a coordenada circunferencial:

$$\frac{1}{r} \frac{\partial P}{\partial \theta} = \left[\frac{1}{r^2} \frac{\partial}{\partial r} (r^2 \tau_{r\theta}) \right] \quad (2.27)$$

$$\frac{1}{r} \frac{\partial P}{\partial \theta} = \frac{1}{r^2} \frac{\partial}{\partial r} \left(r^3 \eta (\dot{\gamma}) \frac{dw}{dr} \right) \quad (2.28)$$

Para a coordenada radial

$$\frac{\partial P}{\partial r} = 0 \quad (2.29)$$

O tensor taxa de deformação é dado por :

$$\dot{\gamma} = \begin{bmatrix} 2\frac{\partial v}{\partial r} & r\frac{\partial}{\partial r}\left(\frac{w}{r}\right) + \frac{1}{r}\frac{\partial v}{\partial \theta} & \frac{\partial v}{\partial z} + \frac{\partial u}{\partial r} \\ r\frac{\partial}{\partial r}\left(\frac{w}{r}\right) + \frac{1}{r}\frac{\partial v}{\partial \theta} & 2\left(\frac{1}{r}\frac{\partial w}{\partial \theta} + \frac{\partial v}{\partial z}\right) & \frac{1}{r}\frac{\partial u}{\partial \theta} + \frac{\partial v}{\partial z} \\ \frac{\partial v}{\partial z} + \frac{\partial u}{\partial r} & \frac{1}{r}\frac{\partial u}{\partial \theta} + \frac{\partial v}{\partial z} & 2\frac{\partial v}{\partial r} \end{bmatrix}$$

Utilizando a teoria da lubrificação tem-se:

$$\dot{\gamma} = \begin{bmatrix} 0 & r\frac{d}{dr}\left(\frac{w}{r}\right) & \frac{du}{dr} \\ r\frac{d}{dr}\left(\frac{w}{r}\right) & 0 & 0 \\ \frac{du}{dr} & 0 & 0 \end{bmatrix}$$

Com isso a taxa de deformação é dada por

$$\dot{\gamma} = \sqrt{\frac{1}{2} \left(\left[r\frac{d}{dr}\left(\frac{w}{r}\right) \right]^2 + \left[\frac{du}{dr} \right]^2 \right)} = \left\{ \left[r\frac{d}{dr}\left(\frac{w}{r}\right) \right]^2 + \left[\frac{du}{dr} \right]^2 \right\}^{1/2} \quad (2.30)$$

Utilizando a equação constitutiva do modelo de potência, a viscosidade pode ser escrita como:

$$\eta(\dot{\gamma}) = m[\dot{\gamma}]^{n-1} = m \left\{ \left[r\frac{d}{dr}\left(\frac{w}{r}\right) \right]^2 + \left[\frac{du}{dr} \right]^2 \right\}^{\frac{n-1}{2}} \quad (2.31)$$

Como a pressão não depende da coordenada radial, as expressões para as velocidades axial e circunferencial podem ser divididas em dois termos, uma dependência explícita da coordenada radial vezes o termo de gradiente de pressão:

$$u(r, \theta, z) = \text{sign}\left(\frac{\partial P}{\partial z}\right) \cdot \left|\frac{\partial P}{\partial z}\right|^{\frac{1}{n}} \cdot f_u(r) \quad (2.32)$$

$$w(r, \theta, z) = \text{sign}\left(\frac{\partial P}{\partial \theta}\right) \cdot \left|\frac{\partial P}{\partial \theta}\right|^{\frac{1}{n}} \cdot f_w(r) + f_{Gw}(r) \quad (2.33)$$

Como a pressão ao longo do poço tende a decrescer, ou seja o gradiente de pressão é negativo, foi necessário utilizar a função *sign* para evitar o aparecimento de números imaginários para valores de índice de potência menores do que 1.

Sendo assim as equações de conservação podem ser re-escritas incorporando as equações 2.32 e 2.33:

Para a coordenada axial

$$\frac{\partial P}{\partial z} = \frac{1}{r} \frac{\partial}{\partial r} \left(r \cdot \eta \cdot \text{sign}\left(\frac{\partial P}{\partial z}\right) \cdot \left|\frac{\partial P}{\partial z}\right|^{\frac{1}{n}} \cdot \frac{df_u}{dr} \right) \quad (2.34)$$

Para a coordenada circunferencial

$$\frac{1}{r} \frac{\partial P}{\partial \theta} = \text{sign}\left(\frac{\partial P}{\partial \theta}\right) \cdot \left|\frac{\partial P}{\partial \theta}\right|^{\frac{1}{n}} \cdot \frac{1}{r^2} \frac{\partial}{\partial r} \left(r^3 \eta \frac{d}{dr} \left(\frac{f_w}{r} \right) \right) \quad (2.35)$$

$$0 = \frac{d}{dr} \left\{ r^3 \eta \frac{d}{dr} \left[\frac{f_{Gw}}{r} \right] \right\} \quad (2.36)$$

Na coordenada circunferencial, a equação de conservação da quantidade de movimento foi dividida em duas partes, uma em função do gradiente de pressão e a outra em função da rotação do cilindro interno.

Com as equações 2.32 e 2.33 os componentes do tensor taxa de deformação serão as próprias derivadas das velocidades estipuladas:

$$\frac{du}{dr} = \text{sign}\left(\frac{\partial P}{\partial z}\right) \cdot \left|\frac{\partial P}{\partial z}\right|^{\frac{1}{n}} \cdot \frac{df_u}{dr} \quad (2.37)$$

$$\frac{w}{r} = \text{sign}\left(\frac{\partial P}{\partial \theta}\right) \cdot \left|\frac{\partial P}{\partial \theta}\right|^{\frac{1}{n}} \cdot \frac{f_w}{r} + \frac{f_{Gw}}{r} \quad (2.38)$$

$$\frac{d}{dr}\left(\frac{w}{r}\right) = \text{sign}\left(\frac{\partial P}{\partial \theta}\right) \cdot \left|\frac{\partial P}{\partial \theta}\right|^{\frac{1}{n}} \cdot \frac{d}{dr}\left(\frac{f_w(r)}{r}\right) + \frac{d}{dr}\left(\frac{f_{Gw}(r)}{r}\right) \quad (2.39)$$

Logo a viscosidade da equação (2.31) pode ser reescrita considerando as derivadas (2.37) e (2.39):

$$\eta(\dot{\gamma}) = m \left\{ r^2 \left[\text{sign}\left(\frac{\partial P}{\partial \theta}\right) \cdot \left|\frac{\partial P}{\partial \theta}\right|^{\frac{1}{n}} \cdot \frac{d}{dr}\left(\frac{f_w(r)}{r}\right) + \frac{d}{dr}\left(\frac{f_{Gw}(r)}{r}\right) \right]^2 + \left[\text{sign}\left(\frac{\partial P}{\partial z}\right) \cdot \left|\frac{\partial P}{\partial z}\right|^{\frac{1}{n}} \cdot \frac{df_u}{dr} \right]^2 \right\}^{\frac{n-1}{2}} \quad (2.40)$$

A Equação da Continuidade em coordenadas cilíndricas, considerando a equação (2.21) é escrita como:

$$\frac{1}{r} \frac{\partial w}{\partial \theta} + \frac{\partial u}{\partial z} = 0 \quad (2.41)$$

Utilizando o Teorema de Leibnitz para integrar a equação na direção radial, tem-se

$$\frac{d}{d\theta} \int_{R_i}^R w dr + \frac{d}{dz} \int_{R_i}^R r u dr = 0 \quad (2.42)$$

Assim considerando as velocidades estipuladas mencionadas nas equações (2.32) e (2.33) tem-se:

$$\frac{d}{d\theta} \int_{R_i}^R \left[\text{sign}\left(\frac{\partial P}{\partial \theta}\right) \cdot \left|\frac{\partial P}{\partial \theta}\right|^{\frac{1}{n}} \cdot f_w(r) + f_{Gw}(r) \right] dr +$$

$$+ \frac{d}{dz} \int_{R_i}^R r \left[\text{sign} \left(\frac{\partial P}{\partial z} \right) \cdot \left| \frac{\partial P}{\partial z} \right|^{\frac{1}{n}} \cdot f_u(r) \right] dr = 0 \quad (2.43)$$

Separando cada integral em função de f_w , f_{Gw} e f_u , tem-se:

$$\begin{aligned} \frac{d}{d\theta} \int_{R_i}^R \left[\text{sign} \left(\frac{\partial P}{\partial \theta} \right) \cdot \left| \frac{\partial P}{\partial \theta} \right|^{\frac{1}{n}} \cdot f_w(r) \right] dr + \frac{d}{dz} \int_{R_i}^R r \left[\text{sign} \left(\frac{\partial P}{\partial z} \right) \cdot \left| \frac{\partial P}{\partial z} \right|^{\frac{1}{n}} \cdot f_u(r) \right] dr + \\ + \frac{d}{d\theta} \int_{R_i}^R [f_{Gw}(r)] dr = 0 \end{aligned} \quad (2.44)$$

$$\begin{aligned} \frac{d}{d\theta} \left[\text{sign} \left(\frac{\partial P}{\partial \theta} \right) \cdot \left| \frac{\partial P}{\partial \theta} \right|^{\frac{1}{n}} \cdot \int_{R_i}^R f_w(r) dr \right] + \frac{d}{dz} \left[\text{sign} \left(\frac{\partial P}{\partial z} \right) \cdot \left| \frac{\partial P}{\partial z} \right|^{\frac{1}{n}} \cdot \int_{R_i}^R r \cdot f_u(r) dr \right] = \\ - \frac{d}{d\theta} \int_{R_i}^R [f_{Gw}(r)] dr \end{aligned} \quad (2.45)$$

Assim a equação para calcular a pressão em cada ponto (z, θ) :

$$\frac{d}{d\theta} \left[C_\theta \cdot \text{sign} \left(\frac{\partial P}{\partial \theta} \right) \cdot \left| \frac{\partial P}{\partial \theta} \right|^{\frac{1}{n}} \right] + \frac{d}{dz} \left[C_z \cdot \text{sign} \left(\frac{\partial P}{\partial z} \right) \cdot \left| \frac{\partial P}{\partial z} \right|^{\frac{1}{n}} \right] = - \frac{d}{d\theta} C_o \quad (2.46)$$

onde :

$$C_\theta = \int_{R_i}^R f_w(r) dr \quad (2.47)$$

$$C_z = \int_{R_i}^R r f_z(r) dr \quad (2.48)$$

$$C_o = \int_{R_i}^R f_{Gw}(r) dr \quad (2.49)$$

As equações da velocidade (2.34), (2.35), (2.36) e viscosidade (2.40) estão acopladas e serão resolvidas através de um método iterativo. Após resolver este conjunto de equações se iniciará um segundo processo iterativo para resolver as equações das pressões (2.46). A descrição detalhada deste processo será descrita no capítulo 3 a seguir.